

مطالعه جمعیت‌های *Rhizoctonia solani* AG-1-IA جدا شده از برنج

در استان مازندران به کمک rDNA RFLP

Studies on populations of *Rhizoctonia solani* AG-1-IA isolated from rice by rDNA RFLP in Mazandaran Province

محمدعلی تاجیک‌قنبری*، حشمت‌اله رحیمیان و عزیزاله علیزاده

دانشکده علوم کشاورزی دانشگاه مازندران و دانشکده کشاورزی دانشگاه تربیت مدرس

دریافت ۱۳۸۳/۹/۱ پذیرش ۸۴/۶/۲

چکیده

به منظور ارزیابی چندشکلی نواحی حد فاصل ژن‌های ۲۸s و ۱۸s در ژنوم قارچ عامل سوختگی غلاف برنج، ۵۴ جدایه *Rhizoctonia solani* AG-1-IA جدا شده از نواحی مختلف استان مازندران مورد ارزیابی قرار گرفتند. از جدایه‌ها ۱۰-۱۰۰ ng/μl DNA استخراج و از آنها به عنوان الگودر واکنش‌های PCR استفاده شد. نواحی هدف توسط جفت آغازگرهای ITS 4 و ITS 5 در ۲۵ چرخه گرمایی در PCR تکثیر شدند. ارزیابی محصولات PCR به کمک ژل اکریل‌آمید ۸٪ جدایه‌ها را به دو گروه عمده تقسیم کرد. در گروه اول (۷۲٪ جدایه‌ها) محصول از یک قطعه ۷۰۰ جفت بازی و در گروه دوم (۲۸٪ جدایه‌ها) از سه قطعه با بزرگی ۷۰۰، ۸۵۰ و ۹۵۰ جفت بازی تشکیل شده بود. آنزیم‌های برشگر *EcoRI*، *TaqI*، *XhoII*، *HaeIII* دارای محل برش و *HindIII* فاقد محل تشخیص و برش در محصولات PCR

* مسئول مکاتبه

هر دو گروه بودند. هضم آنزیمی محصولات PCR با آنزیم‌های برشگر فوق

جدایه‌های *Rhizoctonia solani* AG-1-IA موجود در هر یک از گروه‌ها را یکسان منعکس کرد. براساس ارزیابی‌های نشانگر rDNA RFLP جمعیت قارچ عامل سوختگی غلاف برنج شامل دو زیر جمعیت با فراوانی ۲۸٪ و ۷۲٪ در مازندران است.

واژه‌های کلیدی: برنج، سوختگی غلاف، PCR، rDNA RFLP، *Rhizoctonia solani* AG-1-IA

مقدمه

Rhizoctonia solani Kühn به عنوان یک بازیدیومیست خاکزاد که گیاهان زراعی و غیرزراعی متعددی را مورد حمله قرار می‌دهد، تا حد زیادی مورد توجه بوده است. با گذشت قریب ۱۹۰ سال از توصیف دکاندول از قارچ رایزوکتونیا و انتشار مقاله‌های فراوان اذعان می‌شود که زوایای مختلف بیولوژی و تاکسونومی رایزوکتونیا همچنان ناشناخته است و از آن به عنوان *Rhizoctonia solani* species complex یاد می‌شود (Cubeta & Vilgalys 1997). تا دو دهه پیش موضوع غالب گزارش‌ها و مقاله‌ها تفاوت‌های مرفولوژیک، رفتار بیماری‌زایی، وسعت دامنه میزبانی و همچنین پدیده همدهانی هیفی (Anastomosis) بود، اما با معرفی روش‌های بیوشیمیایی و ملکولی ابزارهای مدرن جایگزین روش‌های قدیمی‌تر مطالعه جمعیت‌های رایزوکتونیا شدند. با آشکار شدن روابط پلی بین گروه‌های آناستوموزی (Anastomosis Groups = AGs) اعتبار گروه‌های آناستوموزی، مورد تردید واقع شد (Ogoshi 1996). به عقیده آدامز (Adams 1996) آناستوموز کمک شایانی به شناخت قارچ رایزوکتونیا به عنوان یک واحد تکاملی کرده است. بنا به نظر کوبتاو و ویگالیز (Cubeta & Vilgalys 1997) گروه‌بندی آناستوموزی همچنان بزرگترین پیشرفت در شناخت تنوع ژنتیکی در داخل جنس رایزوکتونیا است.

نتایج بررسی‌های مولکولی محدوده گروه‌های آناستوموزی را تأیید و مشخص کرد (Vilgalys & Cubeta 1994; Kuninaga & Yokosawa 1982a,b; Carling *et al.* 1988; Vilgalys, 1988). نشانگرهای مولکولی مانند هیبریداسیون DNA-DNA کمابیش این مسئله را تأیید و بر تفکیک و اعتبار بیشتر گروه‌های آناستوموزی صحه گذاشتند (Carling & Kuninaga 1990, Vilgalys & Cubeta, 1994). جنبه‌های مختلف بیولوژی جنس *Rhizoctonia* به کمک

نشانگرهای مولکولی مطالعه شده است (Cubeta & Vilgalys 1997; Sneh *et al.* 1996; Kuninaga *et al.* 2000 a,b). توالی‌هایی از DNA که rRNAهای ریبوزومی را کد می‌کنند نواحی مناسبی جهت بررسی روابط فیلوژنتیک و تاکسونومیک بین قارچ‌ها به حساب می‌آیند (Bruns *et al.* 1992). در قارچ‌ها ژن‌های ریبوزومی (rDNA) در داخل هسته و بر روی DNA میتوکندریایی قرار گرفته‌اند (White *et al.* 1990). ژن‌های ریبوزومی هسته‌ای در دو گروه ۱۸s و ۲۸s و ریبوزومی کوچک و ۵/۸s و ۲۸s ویژه زیرواحد بزرگ ریبوزوم قرار می‌گیرند. فاصله بین قطعات ۱۸s و ۲۸s را دو قطعه فاصله ساز داخلی (ITS1 و ITS2) و یک قطعه ۵/۸ s پر کرده است (Cubeta *et al.* 1996).

روش‌های مولکولی متفاوتی برای مطالعه ژن‌های ریبوزومی *R. solani* مورد استفاده قرار گرفته است که از جمله آنها مقایسه برشهای قطعات حاصل از PCR و مقایسه توالی نواحی مختلف rDNA را می‌توان ذکر کرد (Keijer *et al.* 1996, Kuninaga *et al.* 2000 a, b). در این راستا آغازگرهای اولیگو نوکلئوتیدی فراوانی طراحی و معرفی شده‌اند (Gardes & Bruns 1993, Vilgalys & Hester 1990, White 1990). نتایج بررسی‌های انجام شده در زمینه‌های چندشکلی rDNA در گروه‌های آناستوموزی *R. solani* وابستگی AGها به یکدیگر را تایید (Kuninaga *et al.* 2000a, Kanematsu & Naito 1995, Matsumoto *et al.* 1996 b) و حتی روابط بین زیر گروه‌ها را نیز مشخص کرده است (Liu & Sinclair 1992, 1993). در مطالعات لیو و سینکلر (Liu & Sinclair 1993) روی ژن‌های ریبوزومی، طول قطعات ITS بین ۷۴۰-۶۳۰ در گروه‌های آناستوموزی مختلف به دست آمده است. Boysen و همکاران (1996) قرابت اعضای *R. solani* AG-4 را با مقایسه توالی نوکلئوتیدی ناحیه ITS - 5.8s ثابت نمودند. نتایج تجزیه و تحلیل‌های فیلوژنتیک آنها نشان داد که جدایه‌های AG-4 به سه گروه منطبق با توان بیماری‌زایی و پراکنش اکولوژیکی قابل تقسیم هستند. کونیناگا و همکاران (1997) با مقایسه توالی نوکلئوتیدی نواحی کد کننده rDNA در ۴۵ جدایه از گروه‌های آناستوموزی و زیر گروه‌های مختلف نشان دادند که توالی‌های rDNA 5.8s شدیداً حفاظت شده هستند، اما تفاوت‌های قابل توجهی در نواحی حد فاصل آن با قطعات 28s و 18s (ITS) در بین جدایه‌ها وجود دارد. کونیناگا و همکاران (2000a) در بررسی بعدی روی نواحی مختلف ITS و 5.8s

rDNA در بین جدایه‌های AG-3 جدا شده از سیب‌زمینی نتایج مشابهی را بدست آوردند. این محققین (Kuninaga *et al.* 2000b) در بررسی جدایه‌های توتون که خصوصیات بینابین AG-BI و AG-2-1 را داشتند، وابستگی کامل جدایه‌های BI جدا شده از توتون با جدایه‌های 2-1 را با مقایسه توالی نواحی rDNA - ITS ثابت و با قاطعیت آنها را AG-2-1 معرفی کردند. بیشتر مطالعات مولکولی ریزوکتونیا در سطح و در بین گروه‌های آناستوموزی بوده ولی در زمینه تنوع در سطح زیرگروه‌ها تحقیقاتی انجام نشده است. در بررسی حاضر ساختار جمعیت *R. solani* AG-1-IA به‌عنوان یک زیر گروه و یک جمعیت اختصاصی بیماریزا در برنج با نشانگر rDNA RFLP مورد ارزیابی قرار گرفته است.

روش بررسی

آماده‌سازی جدایه‌ها و استخراج DNA

جدایه‌های جمع‌آوری شده از نقاط مختلف استان مازندران (جدول ۱) روی محیط عصاره سیب‌زمینی - دکستروز (Potato dextrose broth) به مدت ۳-۵ روز در دمای اتاق کشت و توده‌های میسلومی از محیط جدا و با آب مقطر شستشو شدند. توده میسلومی جدایه‌ها با استفاده از خشک‌کن انجمادی خشک و سپس پودر شده و برای استخراج DNA مورد استفاده قرار گرفت. استخراج DNA براساس روش *کانی‌ماتسونایتو* (1995) صورت گرفت. سی میلی‌گرم پودر خشک میسلوم از هر جدایه به لوله‌های اپندورف ۲ میلی‌لیتری منتقل و ۵۰۰ میکرولیتر با فرلیز کننده (1% 2-mercaptoethanol, pH = 7.2, 50 mM Tris -HCl) به آنها اضافه و کاملاً مخلوط شد. لوله‌ها نیم ساعت در حمام آبگرم ۶۵ درجه سانتی‌گراد قرار گرفتند. پس از سرد شدن تا دمای محیط ۲۵۰ میکرولیتر فنل اشباع با تریس و سپس ۲۵۰ میکرولیتر مخلوط کلرفرم - ایزوآمیل الکل (به نسبت ۲۴ به ۱) به آنها اضافه و ۳۰-۱۵ دقیقه به آرامی زیر و رو شدند. لوله‌ها به مدت ۲۰ دقیقه در ۱۰۰۰۰g سانتریفوژ و رو نشین به لوله‌های ۱/۵ میلی‌لیتری منتقل گردید. بعد از اضافه کردن ۰/۱ حجم استات سدیم سه مولار با pH = ۵/۳ و ۰/۵۴ حجم ایزوپروپانول سرد (۲۰- درجه سانتی‌گراد) نمونه‌ها به مدت دو ساعت تا یک شب در ۲۰- درجه سانتی‌گراد

نگهداری شدند. لوله‌ها به مدت ۲۰ دقیقه در ۱۰۰۰۰۰ g سانتریفوژ شده و رسوب با اتانول

۷۰٪ شسته شد. بعد از خشک کردن در دمای محیط، رسوب در ۵۰µl بافر Tris, 2mM EDTA

10 mM سترون حل و در دمای ۲۰- درجه سانتی‌گراد نگهداری شد.

جدول ۱- فهرست جدایه‌های *Rhizoctonia solani* AG-1-IA مورد استفاده و محل جمع‌آوری

Table 1. List of isolates of *Rhizoctonia solani* used and sites of collection

| Isolate No. | Place collected | Isolated from | Isolate No. | Place collected | Isolated from |
|-------------|-------------------|---------------|-------------|---------------------|---------------|
| 13 | Amir kola | Sheath | 350 | Noor-4 | Sheath |
| 26 | AB -FR * | Sheath | 361 | Noor - 10 | Leaf |
| 44 | Amol -28 | Sheath | 365 | Noor-4 -2 | Sheath |
| 50 | Behshahr-9 | sheath | 373 | Rooyan -2 | Sheath |
| 53 | Behshahr -15 | Sheath | 378 | AF-O -1 ** | Sheath |
| 62 | Behshahr -27 | Sheath | 381 | AF-O-4 | Seed |
| 73 | Jouybar -5 | Seed | 389 | Salmanshahr -1 | Sheath |
| 78.1 | Jouybar -14 | Sheath | 400 | FD -3*** | Sheath |
| 95 | Amirkola-18 | Sheath | 401 | FD-4 | Sheath |
| 108 | Semeskandeh-60 | Sheath | 403 | Ghaemshahr -1 | Sheath |
| 201 | Mahmoodabad-2 | Sheath | 405 | Ghaemshahr-3 | Sheath |
| 204 | Panhashahr-1 | Sheath | 411 | Kiakola -2 | Sheath |
| 208 | Panhashahr-5 | Sheath | 414 | Kiakola -5 | Sheath |
| 231 | Noushahr-forest-6 | Sheath | 416 | Kiakola-Jouybar-1 | Sheath |
| 235 | Noushahr-3 | Sheath | 418 | Kiakola-Jouybar-3 | Sheath |
| 241 | Noushahr-2 | Sheath | 421 | Darvishkheil | Sheath |
| 245 | Noushahr-6 | Sheath | 434 | Babol-Balamaleh-1 | Sheath |
| 253 | Sardabrood -8 | Sheath | 438 | Balamaleh-River | Sheath |
| 256 | FR-A + | Sheath | 448 | Balamaleh - Dam | Sheath |
| 268 | Hachrood -8 | Sheath | 466 | Babol - Hajikola -1 | Sheath |
| 271 | Aseram-1 | Leaf | 469 | Amol-Khatib | Seed |
| 311 | Amol-Chamestan -2 | Sheath | 477 | Babol-Delavarkola-2 | Leaf |
| 323 | Freydoonkenar-2 | Sheath | 484 | Babol-Doonehsar | Sheath |

Table 1. (contined)

| | | | | | |
|------|--------------------|--------|------|-------------|--------|
| 329 | Freydoonkenar-8 | Sheath | R-5 | Vajargah-5 | Leaf |
| 335 | Freydoonkenar-14 | Leaf | R-12 | Kelachay-3 | Sheath |
| 338 | Mahmmodabad-Glan-2 | Sheath | R-22 | Hasansara-1 | Sheath |
| G-23 | Gorgan-Kordkouy-5 | Sheath | R-29 | Langrood-3 | sheath |

AB-FR*=Amol –Babol road ,Freydoonkenar branch , AF-0-1** = Between Amol and Freydoonkenar-Oujiabad, FD-3*** = Freydoonkenar toward Darvishkheil , FR-A+= Freydoonkenar toward Amol

برای تعیین غلظت و خلوص نسبی DNA استخراج شده از ژل آگارز ۰/۸ درصد استفاده شد. سه میکرولیتر از نمونه DNA استخراج شده به همراه یک میکرولیتر محلول حاوی رنگ (برم فنل بلو، ۰/۰۹ ، EDTA ۶۰ mM و ۶۰٪ گلیسرول) و دو میکرولیتر آب مقطر به چاهک‌های ژل انتقال داده و الکتروفورز در سیستم بافری (TBE) 9mM Tris, 9mM Boric acid , 2mM EDTA در ولتاژ ۶۰ ولت به مدت دو ساعت انجام شد. جهت ارزیابی غلظت از DNA خالص (pH 8.8) در ولتاژ ۶۰ ولت به مدت دو ساعت انجام شد. جهت ارزیابی غلظت از DNA خالص فاژ با غلظت ۱۰ نانوگرم در میکرولیتر و هم حجم با نمونه‌های DNA استفاده شد. ژل در محلول اتیدیوم بروماید (۰/۵ μg/ml) به مدت ۲۰ دقیقه رنگ‌آمیزی و غلظت نسبی DNA استخراج شده در مقایسه با غلظت DNA فاژ تعیین گردید.

واکنش زنجیره‌ای پلیمرز (PCR)

تکثیر قطعات rDNA با استفاده از واکنش زنجیره‌ای پلیمرز انجام شد. مخلوط واکنش PCR شامل ۲/۵ μl از 10X PCR buffer ، ۰/۷۵ μl از ۵۰ mM MgCl₂ ، ۰/۵ μl از ۱۰ mM dNTP Mix ، ۰/۲ μl از ۵U Taq DNA polymerase ، ۱۱ μl از آغازگر بالادست (ITS5) با توالی 5'- CGTAGGTGAACCT (با غلظت ۱۰ ng/ μ ، ۱۱ μl از آغازگر پائین دست (ITS4) با توالی 5'- TCCTCCGCTTATTGATATGC-3' (با غلظت ۱۰ ng / μl و ۱۸/۰۵ μl آب مقطر دیونیزه دوبار تقطیر و سترون برای هر واکنش بود. بعد از اضافه کردن ۱ μl از DNA هر جداپه به عنوان الگو یک لایه روغن معدنی به سطح مخلوط واکنش افزوده شده و لوله‌ها به ترموسایکلر (Biometra-Personal Cycler) منتقل شدند. برنامه PCR شامل: ۹۴ °C به مدت ۱۰ دقیقه و ۲۵

چرخه 94°C به مدت ۱ دقیقه، 60°C به مدت ادقیقه، 72°C به مدت ۱ دقیقه و یک مرحله گسترش نهایی 72°C به مدت ۱۰ دقیقه بود.

ارزیابی محصول PCR

ارزیابی محصول PCR روی ژل اکرلامید ۸٪ انجام شد. دو و نیم میکرولیتر از محصول هر یک از واکنش‌ها به همراه $1\ \mu\text{l}$ محلول حاوی رنگ و $2/5\ \mu\text{l}$ آب مقطر به چاهک‌های ژل منتقل و الکتروفورز در بافر TBE و ولتاژ ۱۰۰ ولت به مدت $3/5$ ساعت انجام شد. از قطعات ژنوم فاژ λ هضم شده با *Eco RI* و *Hind III* به عنوان نشانگر وزن مولکولی استفاده شد. ژل در محلول اتیدیوم بروماید ($0/5\ \mu\text{g/ml}$) به مدت ۲۰ دقیقه رنگ‌آمیزی و پس از انتقال به آب مقطر از آن عکس گرفته شد.

۵- هضم محصول PCR

از آنزیم‌های برشگر *Hind III*، *Bam HI*، *Taq I*، *Hae III*، *Xho I*، *Xho II*، *Eco RI* برای هضم قطعات DNA تکثیر شده استفاده شد. هر واکنش هضم شامل ۱۰ میکرولیتر محصول PCR، $11/5$ میکرولیتر آب مقطرسترون دوبار تقطیر، $2/5$ میکرولیتر بافر واکنش X ۱۰ مخصوص هر آنزیم برشی و یک واحد آنزیم برشی (با غلظت $1\text{U}/\mu\text{l}$) بود. هضم بمدت یک ساعت در 37°C (واکنش‌های *Taq I* در 65°C) انجام و نمونه‌های هضم شده تا زمان الکتروفورز در 20°C - نگهداری شدند.

ارزیابی و مقایسه محصولات هضم

ده میکرولیتر از محصول هضم به‌مراه $2\ \mu\text{l}$ رنگ در چاهک‌های ژل اکرلامید ۸٪ ریخته شده و الکتروفورز در جریان 60 ولت به مدت ۴ ساعت انجام گردید. از پلازمید pBR 322 برش داده شده با آنزیم *Hae III* به عنوان نشانگر وزن مولکولی استفاده شد. ژل سپس در محلول اتیدیوم بروماید رنگ‌آمیزی شد.

نتیجه

استخراج DNA

از جدایه‌های مختلف *Rhizoctonia solani* AG-1-IA بین $100\ \text{ng}$ - $10\ \text{ng}$ DNA به‌دست آمد

که از آنها به عنوان الگو در واکنش‌های PCR استفاده شد. به منظور خلوص بیشتر DNA مرحله فنل-کلرفرم بین ۲ تا ۵ بار تکرار و در مواردی از فقط فنل و در انتها یک مرحله کلرفرم نیز استفاده شد. رسوب با اتانول ۹۶ درصدی مطلق بسیار بیشتر از ایزوپروپانول بود ولی محصول بدست آمده در غالب موارد قابل تکثیر نبود و ایزوپروپانول برای رسوب‌دهی نهایی DNA نتیجه بهتری در موفقیت تکثیر با PCR داشت.

واکنش زنجیره پلیمرز (PCR)

با الکتروفورز محصول تکثیرشده از DNA جدایه‌های مختلف با استفاده از آغازگرهای ITS4 و ITS5 روی ژل آگارز ۱٪ یک قطعه DNA با اندازه یکسان دیده شد. الکتروفورز محصول روی ژل اکریلامید منجر به متمایز گردیدن جدایه‌ها به دو گروه گردید. در گروه اول قطعات تکثیر شده تنها حاوی یک باند DNA با بزرگی تقریبی ۷۰۰ جفت بازی و در گروه دوم سه قطعه ۷۰۰، ۸۵۰ و ۹۵۰ جفت بازی بود (شکل ۱).

مقایسه اثر آنزیم‌های برشگر روی محصول DNA

در تیمار محصولات PCR با آنزیم‌های برشگر، آنزیم‌های *HaeIII* و *TaqI*، *XhoII*، *EcoRI* روی قطعات ۷۰۰، ۸۵۰ و ۹۵۰ جفت بازی جدایه‌های گروه‌های یک و سه بانندی محل تشخیص و برش داشتند ولی آنزیم‌های *XhoI*، *HindIII*، *BamHI* فاقد محل شناسایی و برش بودند. نتایج به دست آمده از تیمار محصول با آنزیم‌های هضم‌کننده به شرح زیر می‌باشد:

محصول برش با آنزیم *Taq I*

در هضم DNA تکثیر شده، در جدایه‌های مختلف با *Taq I* محصول هضم شده در جدایه‌های گروه یک بانندی به سه قطعه شکسته شد. این سه قطعه در تمامی جدایه‌های گروه یک بانندی مشابه بود. با مقایسه طول قطعات حاصله با نشانگر وزن مولکولی مشخص گردید که سه قطعه به ترتیب ۵۰، ۳۰۰ و ۳۵۰ جفت باز هستند. محصول DNA جدایه‌های گروه سه بانندی نیز توسط *Taq I* بریده شده و از هر سه قطعه (قطعه‌های ۷۰۰، ۸۵۰ و ۹۵۰ جفت بازی) قطعات کوچکتری به دست آمد. نقوش باندهای به دست آمده بین جدایه‌های این گروه یکسان بوده و تفاوتی بین جدایه‌ها مشهود نبود. باند ۷۰۰ جفت بازی قطعه‌های ۵۰، ۳۰۰ و ۳۵۰ جفت بازی، مشابه محصول گروه یک بانندی، باند ۸۵۰ جفت بازی قطعه‌های ۴۰۰ و ۴۵۰ جفت بازی

محصول برش با آنزیم *Xho II*

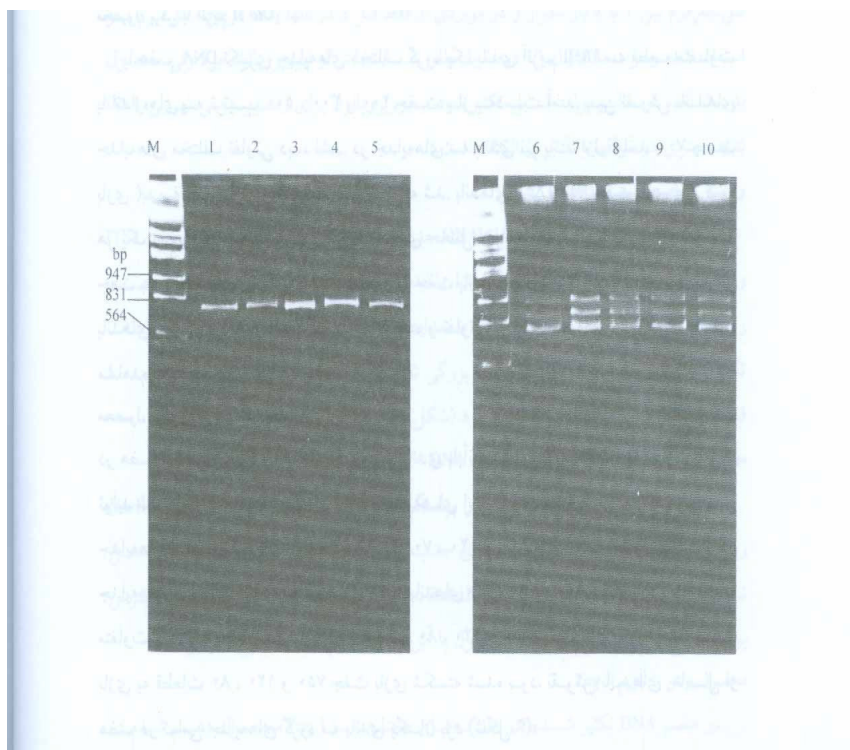
با هضم DNA تکثیری جدایه‌های مختلف گروه یک بانندی آنزیم *XhoII* سه قطعه متفاوت با اندازه‌های به ترتیب ۵۰۰، ۳۰۰ و ۲۰۰ جفت باز به دست آمد. بین نقوش باندهای جدایه‌های مختلف تفاوتی دیده نشد. در جدایه‌های سه بانندی نیز باند اول (باند ۷۰۰ جفت بازی) به سه قطعه با اندازه‌های یاد شده شکسته شد. باندهای ۸۵۰ و ۹۵۰ جفت بازی این گروه هر یک به دو قطعه تبدیل شدند. طول قطعه‌های حاصل از باند ۸۵۰ جفت بازی ۲۰۰ و ۶۵۰ جفت باز و قطعه‌های به دست آمده از باند ۹۵۰ جفت بازی ۲۰۰ و ۷۵۰ جفت بازی بود. نقوش باندهای حاصل از هضم *XhoII* کاملاً مشابه بوده و تفاوتی در بین جدایه‌های گروه سه بانندی مشاهده نگردید.

محصول برش با آنزیم *Hae III*

در هضم محصول PCR جدایه‌های گروه یک بانندی با آنزیم *Hae III* سه قطعه با اندازه متفاوت تولید شد. طول قطعات حاصله در تمامی جدایه‌های این گروه مشابه بوده و تفاوتی بین جدایه‌ها مشاهده نگردید. باندهای حاصل ۷۰، ۱۲۰ و ۵۰۰ جفت باز طول داشتند. در جدایه‌های گروه سه بانندی نیز محصول هضم باندهای ۷۰۰، ۸۵۰ و ۹۵۰ جفت بازی سه قطعه متفاوت بود. باند ۸۵۰ جفت بازی به سه قطعه ۸۰، ۱۲۰ و ۶۵۰ جفت بازی و باند ۹۵۰ جفت بازی به قطعات ۸۰، ۱۲۰ و ۷۵۰ جفت بازی شکسته شده بود. نقوش باندهای حاصل از هضم در تمامی جدایه‌های گروه سه بانندی یکسان بود (شکل ۳).

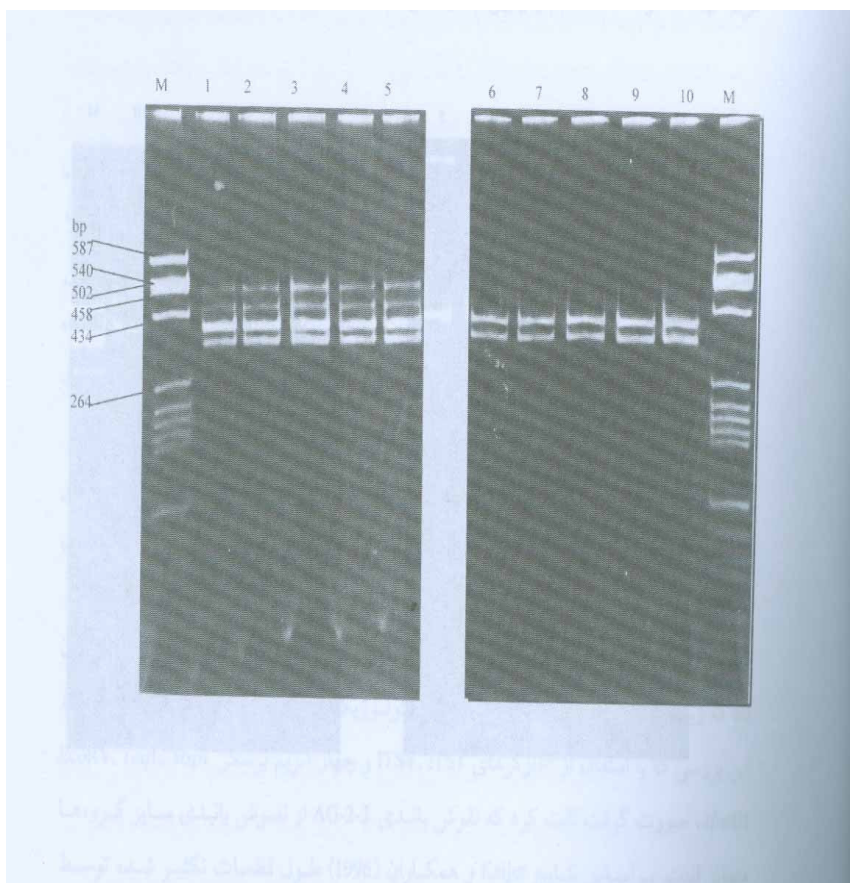
محصول برش با آنزیم *EcoRI*

در نتیجه هضم آنزیمی باند ۷۰۰ جفت بازی محصولات PCR جدایه‌های گروه یک بانندی با آنزیم *EcoRI* دو قطعه با طول متفاوت به دست آمد. باندهای حاصل در تمام جدایه‌ها ۶۵۰ و ۴۰۰ جفت باز طول داشته نقوش آنها بین تمام جدایه‌های گروه یکسان بود. باند ۷۰۰ جفت بازی جدایه‌های گروه سه بانندی نیز پس از هضم با *EcoRI* محصولاتی مشابه یک بانندی‌ها تولید و بین جدایه‌ها نیز تفاوتی نشان نداد. باند ۸۵۰ جفت بازی جدایه‌های گروه سه بانندی دو قطعه با طول متفاوت ایجاد کرد. قطعه‌های ناشی از هضم ۷۵۰ و ۴۵۰



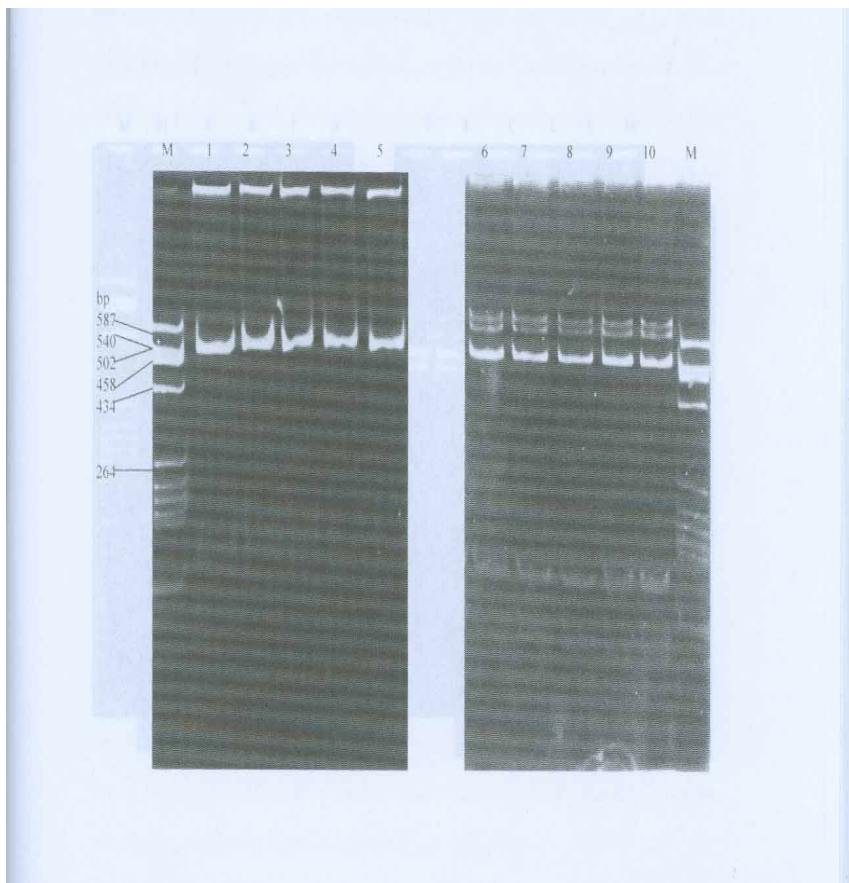
شکل ۱- نقوش باندهای محصولات PCR تکثیر شده با آغازگرهای ITS 4 و ITS 5 جدایه‌های *Rhizoctonia solani* AG1-IA جدا شده از برنج از نواحی شمالی ایران روی ژل اکریل آمید ۸٪ رنگ‌آمیزی شده با اتیدیوم بروماید. چاهک‌های ۱ تا ۱۰ به ترتیب مربوط به جدایه‌های ۱۰۸، ۹۵، ۶۳، ۱۳، ۲۶ (گروه یک بانندی) و ۲۰۴، ۲۰۸، ۲۳۵، ۲۳۱، ۲۴۱ (گروه سه بانندی) و M شاخص وزن مولکولی (DNA فاز λ هضم شده با *EcoRI* و *HindIII*) هستند.

Fig. 1. Electrophoretic patterns of PCR products from *Rhizoctonia solani* AG1-IA isolates of rice on 8% polyacrylamide gel stained with Et-Br. Isolates lanes 1, isolate13; 2, isolate26; 3 isolate.63; 4, isolate 95; 5, isolate 108; 6, isolate 204;7, isolate 208; 8, isolate 231;9, isolate 235;10 , isolate 241, M lanes lambda DNA *EcoRI*, *HindIII* digest as molecular weight marker.



شکل ۲- نقوش باندهای محصولات PCR جدایه‌های *Rhizoctonia solani* AG1-IA جداشده از برنج از نواحی شمالی ایران هضم شده با آنزیم برشگر *TaqI* روی ژل اکریل آمید ۸٪ رنگ‌آمیزی شده با اتیدیوم بروماید. چاهک‌های ۱۰ تا ۱۰۸ به ترتیب مربوط به جدایه‌های ۱۳، ۲۶، ۶۳، ۹۵، ۱۰۸ (گروه یک باندهی) و ۲۰۴، ۲۰۸، ۲۳۵، ۲۳۱، ۲۴۱ (گروه سه باندهی) و M شاخص وزن مولکولی DNA پلازمید pBR322 هضم شده با *HaeIII* هستند.

Fig. 2. Electrophoretic patterns of *TaqI* digested PCR products from *Rhizoctonia solani* AG1-IA isolates of rice on 8% acrylamide stained with Et-Br. Isolates lanes: 1, isolate 13; 2, isolate 26; 3 isolate, 63; 4, isolate 95; 5, isolate 108; 6, isolate 204; 7, isolate 208; 8, isolate 231; 9, isolate 235; 10, isolate 241, M lanes pBR322 *HaeIII* digest as molecular weight marker.



شکل ۳- نقوش باندهای محصولات PCR جدایه‌های *Rhizoctonia solani* AG1-IA جداشده از برنج از نواحی شمالی ایران هضم شده با آنزیم برشگر *HaeIII* روی ژل اکریل آمید ۸٪ رنگ‌آمیزی شده با اتیدیوم بروماید. چاهک‌های ۱ تا ۱۰ به ترتیب مربوط به جدایه‌های ۱۳، ۲۶، ۶۳، ۹۵، ۱۰۸ (گروه یک باندى) و ۲۰۴، ۲۰۸، ۲۳۱، ۲۳۵، ۲۴۱ (گروه سه باندى) و M شاخص وزن مولكولى DNA پلازميد pBR322 هضم شده با *HaeIII* هستند.

Fig. 3. Electrophoretic patterns of *HaeIII* digested PCR products from *Rhizoctonia solani* AG1-IA isolates of rice on 8% acrylamide stained with Et-Br. Isolates lanes: 1, isolate 13; 2, isolate 26; 3 isolate, 63; 4, isolate; 5, isolate; 6, isolate 204; 7, isolate 208; 8, isolate 231; 9, isolate 235; 10, isolate 241, M lanes pBR322 *HaeIII* digest as molecular weight marker.

جفت باز بود. حاصل هضم باند ۹۵۰ جفت بازی نیز دو قطعه باند با اندازه متفاوت بود که طول آنها ۸۵۰ و ۵۵۰ جفت باز و بین جدایه‌های مختلف یکسان بود.

بحث

هدف از این مطالعه بررسی تنوع جدایه‌های عامل شیت بلایت برنج براساس چند شکلی احتمالی در نواحی ژن‌های ریپوزومی بود. مطالعه چند شکلی و مقایسه توالی‌های مربوط به نواحی کد کننده اجزاء ریپوزوم به عنوان یک نشانگر قابل اعتماد جهت بررسی‌های فیلوژنتیکی جمعیت‌ها و زیرگروه‌های رایزوکتونیا توسط محققین متعددی انجام شده است، (Matsumoto & Matsuyama 1998, Kanematsu & Naito 1995, Liu & Sinclair 1992,) (Kuninaga *et al.*, 2000a, Matsumoto *et al.* 1996 a, b 1997).

عمده بررسی‌ها با مطالعه چندشکلی نواحی مختلف ژن‌های ریپوزومی با آنزیم‌های برشگر صورت گرفته اما مقایسه توالی نوکلئوتیدی قطعات فوق (Kuninaga *et al.* 2000a, b, 1997, Boysen *et al.* 1996) نیز در سال‌های اخیر انجام گرفته است. مقایسه زیرگروه جدیدی از AG-2 جدا شده از برگهای سویا با زیرگروه‌های پیشین آن نشان داد که زیرگروه AG-2-3 یک زیرگروه مستقل اکولوژیکی است (Kanematsu & Naito 1995). این بررسی که با استفاده از آغازگرهای ITS4, ITS1, و چهار آنزیم برشگر *EcoRV*, *TaqI*, *MspI*, *HaeIII*، صورت گرفت ثابت کرد که نقوش باندهای AG-2-3 از نقوش باندهای سایر گروه‌ها متمایز است. براساس نتایج Keijer و همکاران (1996) طول قطعات تکثیر شده توسط آغازگرهای ITS4, ITS1 در داخل گروه‌های آناستوموزی یکسان ولی بین آن‌ها متفاوت بود. آن‌ها با استناد به همین خصوصیت گروه‌های آناستوموزی را گروه‌های مجزای ژنتیکی دانستند. همچنین براساس نتایج هضم محصولات PCR با آنزیم *EcoRI* دو گروه AG-1 و AG-2 با گروه بندی آن‌ها براساس آناستوموز منطبق بود. در تحقیق دیگری با استفاده از آغازگرهای ITS1, ITS4 و ده آنزیم برشگر، چندشکلی قطعات تکثیری در بین زیرگروه‌های AG-2 مشخص گردید. طول قطعات تکثیری بین گروه‌های درون گونه‌ای 2A, 2E, ۰/۶۹ کیلوباز و گروه‌های درون گونه‌ای 2B, 2C, 2D, ۰/۷۴ کیلوباز بود. همچنین پنج آنزیم برشگر

بودند (Liu & Sinclair 1992).

ماتسوموتو و همکاران (1996 b) با تکثیر ژن‌های ریبوزومی 28S گروه‌های مختلف آناستوموزی *R. solani* و هضم با چهار آنزیم برشگر (*HpaII* , *HhaI* , *HaeIII* , *BamHI*) چند شکلی در جدایه‌های گروه‌های آناستوموزی مختلف را نشان دادند. در بین جدایه‌های مورد استفاده آن‌ها ۵ جدایه متعلق به AG-1-IA جدا شده از برنج وجود داشت که همه نقوش بانندی یکسان داشتند.

کونیناگا و همکاران (1997) با مقایسه توالی نوکلئوتیدی نواحی ITS در بین و در داخل گروه‌های آناستوموزی مختلف وجود تفاوت‌ها و شباهت‌هایی را آشکار ساختند. در تمامی گروه‌های آناستوموزی مطالعه شده طول قطعه 5.8S ثابت و از ۱۵۵ باز تشکیل شده بود، اما طول نواحی ITS بین گروه‌های آناستوموزی‌ها بسیار متنوع، ولی در داخل یک گروه‌های آناستوموزی یا یک زیرگروه (از جمله 1-IA) نسبتاً ثابت و با تفاوت در حد چند نوکلئوتید بود. در گروه‌بندی خوشه‌ای AG-1 یک گروه خواهری کاملاً متمایز از سایر AGها را از نظر توالی نوکلئوتیدی تشکیل داد.

ماتسوموتو و همکاران (1996,b) در بررسی دیگر چندشکلی بین ۴ گونه رایزوکتونیا *R. solani* AG-1-IA, *R. oryzae*, *R. oryzae-sativae*, *R. fumigata* و (AG-2-2IIIB) بیماریزا روی غلاف برنج را با استفاده از آغازگر و آنزیم‌های متعدد نشان دادند. در این بررسی نیز جدایه‌های متعلق به AG-1-IA از نقوش بانندی یکسانی برخوردار بودند.

ماتسوموتو و همکاران (1997 a, b,c) در تلاشی برای آشکارسازی و شناسایی قارچ‌های مختلف عامل بیماری‌های برنج در داخل گیاه موفق شدند عامل شیت بلایت را به کمک PCR و آغازگرهای مناسب به سادگی تشخیص دهند. نقوش بانندی حاصل از هضم قطعات تکثیر شده توسط آنزیم‌های برشگر یکسان بود.

در تحقیق حاضر چندشکلی نواحی 5.8 S rDNA , ITS4 و ITS5 توسط آنزیم‌های برشگر انتخابی بررسی شد. محصول PCR ۵۴ جدایه با یکدیگر مقایسه شده و براین اساس جدایه‌ها به دو گروه یک بانندی و سه بانندی تقسیم شدند. در گروه یک بانندی یک قطعه با طول

۷۰۰ bp تکثیر شد که طول آن با قطعه تکثیر شده توسط لیوسینکلر (1992) از زیرگروه‌های Boysen, AG-2 و همکاران (1996) از زیرگروه‌های AG-1 بسیار نزدیک بود. در گروه سه باندی علاوه بر باند ۷۰۰ bp دو قطعه دیگر با اندازه تقریبی ۸۵۰ و ۹۵۰ جفت باز نیز مشاهده گردید. نقوش حاصل از هضم آنزیمی هر یک از باندهای سه گانه خاص همان آنزیم بود. هضم محصولات PCR گروه‌های یک و سه باندی با آنزیم‌های *TaqI* و *Hae III* قطعاتی را تولید کرد که مجموع اندازه‌های آنها معادل محصول PCR هضم نشده هر یک از گروه‌ها بود. نتایج حاصل از هضم آنزیم‌های *XhoII* و *EcoRI* با نتایج بدست آمده از دو آنزیم قبلی متفاوت بود. نتایج برش با *XhoII* نشان داد که صرف نظر از طول یکسان زنجیره‌های ۷۰۰ جفت بازی محصولات PCR زنجیره‌های تکثیری به دو دسته قابل تقسیم هستند. دسته اول دارای یک محل تشخیص و برش برای *XhoII* و قطعات ۵۰۰ و ۲۰۰ جفت بازی و دسته دوم دارای دو محل تشخیص و برش و سه قطعه ۲۰۰ و ۲۰۰ و ۳۰۰ جفت بازی تولید کردند. به این ترتیب محصول نهایی هضم قطعه‌های ۲۰۰ و ۳۰۰ و ۵۰۰ جفت بازی بود.

هضم باندهای سه گانه با *EcoRI* وجود بیش از یک دسته زنجیره تکثیری در محصولات PCR را تأیید کرد. باند ۷۰۰ جفت بازی دو سری محصول هضم داشت. سری اول شامل فقط یک قطعه ۴۰۰ جفت بازی بود که به نظر می‌رسد ۳۰۰ جفت باز باقیمانده آن به‌طور کامل هضم شده باشد. به همین ترتیب باقیمانده هضم زنجیره‌های سری دوم نیز ۶۵۰ جفت باز بود. در هر دو مورد باقیمانده قطعات حاصل از هضم توسط ژل اکریل آمید ۸٪ قابل آشکارسازی نبود. این توضیح علت ایجاد محصولات هضم ۴۵۰ و ۷۵۰ جفت بازی از محصول PCR ۸۵۰ جفت بازی و ۸۵۰ و ۵۵۰ جفت بازی از باند ۹۵۰ جفت بازی را به سادگی بیان می‌کند.

از آنجا که باندهای ۸۵۰ و ۹۵۰ جفت بازی تفاوت مختصری بین ۲۵۰ - ۱۵۰ جفت باز با باند مشترک ۷۰۰ جفت بازی دارند و از طرفی محدوده تکثیری آنها توسط آغازگرهای یکسان شناسایی و تکثیر شده است، احتمال دارد در قسمتهای میانی آنها قطعاتی با توالی‌های تکراری وجود داشته باشد. این قطعه تکراری می‌تواند یک نسخه از rDNA 5.8S یا یک tRNA در حد فاصل بین دو ITS باشد.

آنچه که از بررسی‌های انجام شده تا به امروز روی نواحی ژن‌های ریپوزومی *R. solani* به

دست آمده نشان دهنده وجود تفاوت‌های قابل توجه در بین گروه‌های آناستوموزی و به میزان کمترین زیر گروه‌ها بوده است (Keijer et al. 1996, Matsumoto et al. 1997 Kanematsu & Naito 1995, Kuninaga et al. 1997). نتایج بررسی حاضر نشان می‌دهد در داخل زیرگروه مطالعه شده تفاوت‌ها به حداقل رسیده و شباهت افراد به ۱۰۰٪ نزدیک می‌شود. مطالعاتی از این دست در جمعیت‌های داخل زیر گروه‌های سایر گروه‌های آناستوموزی نیز قابل پیگیری است. بنا به نظر کونیناگا (1996) شواهد کافی برای معرفی گروه‌های آناستوموزی *R. solani* به‌عنوان گونه‌های مستقل موجود است اما برای این تبدیل بایستی تا ارائه دلایل بیشتر منتظر ماند. بررسی‌های مولکولی در داخل زیر گروه‌ها و ارائه نتایجی از قبیل آنچه که در این تحقیق به دست آمده است می‌تواند کمک شایانی به معرفی گروه‌های آناستوموزی *R. solani* به‌عنوان گونه‌های جدید رایزوتونیا بنماید.

منابع

جهت ملاحظه به صفحات (219-222) متن انگلیسی مراجعه شود.

نشانی نگارندگان: محمدعلی تاجیک‌قنبری، حشمت‌اله رحیمیان و عزیزاله علیزاده، دانشکده علوم کشاورزی دانشگاه مازندران و دانشکده کشاورزی دانشگاه تربیت مدرس